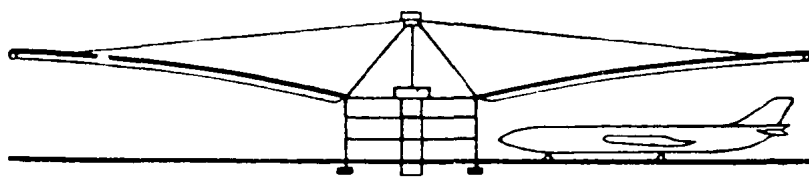


土木建築譯丛

# 工程結構

第二輯

李壽康 俞載道 朱伯龍 編



上海市科學技術編譯館

# 序

1962年8月中国土木工程学会在北京召开了第三次代表大会暨1962年年会，会上对“结构安全度”問題进行了討論。极限分析，也即承载能力的計算，是“结构安全度”的中心問題之一，也是结构設計最根本的問題之一。

结构承载能力的計算牽涉到截面强度及截面內力二方面。对于截面强度計算，目前在我国及許多其他国家已捨弃彈性假定，采用了考虑材料塑性性能的方法；但是对于超靜定結構截面內力的計算，往往还采用彈性假定，因此，計算結果就不能反映真实情况。

为了解决上述矛盾，各國学者針對超靜定結構中由于材料的塑性性能所引起各截面之間內力的重分布問題进行了研究，发表了不少論文。本輯选譯了有关鋼筋混凝土結構的論文八篇。

对于承受一般荷載的普通鋼筋混凝土連續梁、双向版及无梁樓蓋，研究結果比較成熟，掌握比較可靠；因此，在实际工程設計中，已經采用了考慮重分布影响的方法，反映在有关的規范中。有些国家对此已訂有專門的規范，我国也正在制訂中。

此次所选論文，以能在上述內容的基础上，进一步反映“內力重分布”課題方面所已取得的进展为目的。在結構类型方面包括了預应力混凝土連續梁、普通鋼筋混凝土平面框架、拱、版、薄壳及折版。在所代表的国家方面包括了英、美、苏、日、法、波六国。在原文的文字方面包括了英、俄、德、日四种。但是，由于文献頗为丰富，而本輯篇幅有限，只能选譯其一部分。

限于我們的水平，选与譯都难免有不当之处，还請讀者加以指正。

編 者 1964年4月

## 目 录

鋼筋混凝土結構的极限荷載設計.....	1
鋼筋混凝土結構的极限荷載設計(書面討論及答复) .....	27
超靜定預应力鋼筋混凝土結構的强度 .....	52
鋼筋混凝土拱的承載能力 .....	93
平板的极限承載能力.....	102
鋼筋混凝土折板結構在破坏时的平衡条件.....	120
鋼筋混凝土折板結構的极限分析.....	128
壳体按极限平衡法的計算.....	124

# 鋼筋混凝土結構的极限荷載設計

Institution Research Committee

The Institution of Civil Engineers, Proceedings, 21: 400~442 (1962) [英文]

## 引言

1. 最近几年中，工程技术人员已广泛地討論了极限荷載理論，并經常用这种理論來設計鋼結構框架。然而，混凝土变形的有限性，促使注意力仅限制在构件截面的极限强度上，而弯矩分布則仍依据于所假定的彈性状态。本报告的目的是試圖为按整体考虑合理地处理結構物扫清道路。很少鋼筋混凝土結構在荷載作用下会按一般所假定的那种彈性状态工作。通常梁在較小荷載下开裂，其剛度也因而有所降低。应力較大截面在达到流限后，在一定限度之内仍能保持其全部强度。从实际結構中測出的应变与按彈性理論算得的經常不符，而由試驗得出的极限荷載則通常与計算值較为一致。

2. 极限荷載的計算对于决定抵抗破坏的真實安全系数是很重要的。但是，本报告并不建議将极限荷載設計方法作为彈性理論的完全的及足够的替代物。工程师应考虑在各个荷載阶段直到破坏为止的结构性能及相互关系。但对极限荷載值，必須給以主要的考慮，因为极限荷載与使用荷載的关系为安全系数提供唯一可靠的权衡。

3. 用来校核和調整在极限荷載作用下所产生的变形的一般方程式，也可用来求得彈性解答。后者一般只需是近似的，因为目的只是要避免影响結構使用的現象，例如在使用荷載下产生过度的裂縫或变形。由于在方程中的剛度值只能是近似的，故在任何情况下，沒有必要进行过分精确的計算。可以小心地用一般彈性方程来对彈塑性材料所組成的任何框架在两种临界荷載阶段进行全面的分析。在由限值例如  $L_1$  及  $L_2$  (图1)所确定的极限阶段中，方程的求解仅为简单的加法。

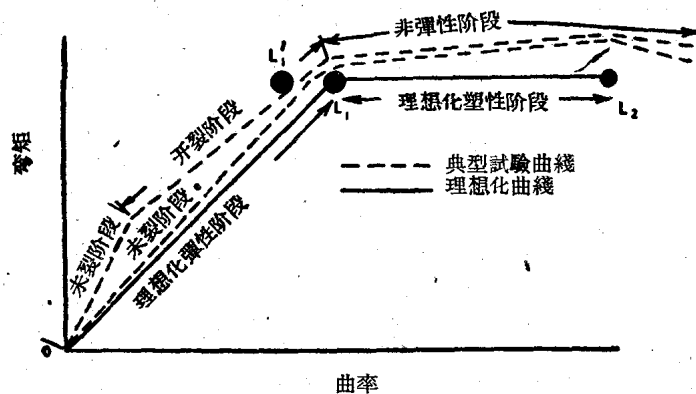


图1 理想化的弯矩-曲率关系

4. 設計人員可以按照需要用調整塑性铰截面的超靜定弯矩或框架构件剛度的方法，來使得在极限荷載下危險截面的塑性变形由最大容許值降低到零。在塑性变形調整到零的这种情况下，理想化的框架在直到破坏时仍处在彈性阶段，但必須考慮裂縫对构件剛度的影响。在許多所謂彈性解答中，即，不計及裂縫对剛度的影响时，实际的弯矩分布可能与按一般方法計算所得者相差很大。

## 符 号

下列符号均适用于本文，除非另有規定

$L_1$ =混凝土或鋼筋的有效流限(图2及图3)，或是构件理想化的彈性极限(图1)

$L_2$ =混凝土或钢筋理想化应力-应变曲线上的某一点,当达到该点时,构件发生破坏(图2及图3),或是构件达到其曲率极限(图1)

$x_k$ =作用在铰k处的未知弯矩

$\bar{x}_k$ =作用在铰k处的已知弯矩

$\delta_{ik}$ =由于 $x_k=1$ 的作用,在铰i处产生的转角(仅计及弯曲作用)

$\delta_{i0}$ =由于外荷载的作用,在铰i处产生的转角(仅计及弯曲作用)

$\theta_i$ =铰i处总的转角。

$\theta_p$ =铰i处的容许转角(在塑性铰截面的一边)

$\theta'_i$ =在弹性计算中采用原始弯曲刚度(图5c)时,由于非弹性变形所引起在铰i处的转角

$\psi_{\bar{n}}$ =在弹性计算中假设采用原始弯曲刚度(图5a)\*时,由于在不是假设为铰处截面的非弹性变形的作用,在危险截面 $\bar{n}$ 处产生的转角

$M$ =弯矩

$M_i$ =当 $x_i=1$ 作用时,弯矩图上的坐标值

$M_k$ =当 $x_k=1$ 作用时,弯矩图上的坐标值

$M_0$ =外荷载作用时,弯矩图上的坐标值

$E_c$ =混凝土弹性模量(割线模量)

$E_s$ =钢筋弹性模量

$EI = Mr$ =截面弯曲刚度(适用于OL<sub>1</sub>阶段)(图5c)

$E'I' = Mr$ =截面弯曲刚度(适用于OA阶段)(图5c)

$r$ =曲率半径

$l$ =跨长

$kl$ =跨长(图6)

$b$ =截面宽度

$d$ =截面有效高度,当截面上无拉力时,即指整个截面高度

$n_1d$ =在L<sub>1</sub>阶段时的中和轴高度

$a_1d$ =力矩臂

$n_2d$ =在L<sub>2</sub>阶段时的中和轴高度

$C_u$ =混凝土立方强度

$c$ =截面边缘处的混凝土应力

$C$ =总压力

$t_u$ =钢筋的假设极限拉应力

$T$ =总拉力

$\alpha_c$ =混凝土平均压应力

$\gamma n_1d$ =受压区边缘到总压力作用点的距离

$e_c$ =混凝土的应变(一般是指截面边缘处而言)

$e_s$ =钢筋应变

$e_{ce}$ =在L<sub>1</sub>阶段时混凝土的应变

$e_{cu}$ =在L<sub>2</sub>阶段时混凝土的应变

$e_{se}$ =在L<sub>1</sub>阶段时钢筋的应变

$e_{su}$ =在L<sub>2</sub>阶段时钢筋的应变

$e_p$ =仅由于预加应力而产生的应变(图9)

$z$ =从塑性铰截面到反弯点的距离

$\bar{l}_p$ =塑性区的实际长度(图4c)

\* 原文为(图5c)应为(图5a)——译者注

$l_p$ =在塑性铰截面一边上的等效塑性区长度

$K_1$ =考虑受拉钢筋型式影响的参数

$K_2$ =考虑轴向荷载影响的参数

$K_3$ =考虑混凝土级别影响的参数

$$F = \frac{e_s n_1}{e_c (1 - n_1)}$$

$A_s$ =受拉钢筋面积

$$\rho = \frac{\text{受拉钢筋面积}}{bd}$$

$$Z = \frac{F}{2\alpha(1-\beta)}$$

$\beta$ =预应力钢筋在未放松时的预应力被除以钢筋极限强度所得的比值。

## 定    义

5. 极限荷载 一种荷载或一种荷载组合，在它作用下将使整个结构或部分结构发生破坏，例如倾覆、形成机构，或是整个或部分结构的破损或削弱。

6. 计算极限荷载时，应考虑荷载分布，加载速度，频率及荷载持续时间的最不利组合。

7. 使用荷载 在结构使用期间，预期将永久地或暂时地承担的荷载或荷载组合。

8. 确定使用荷载时，应考虑荷载分布，加载速度，频率及荷载持续时间的最不利组合。（在某种情况下，当有足够的统计资料为依据时，可采用稍低于最不利荷载的数值。）

9. 极限荷载系数（通常简称为荷载系数）设计极限荷载就可用相应的使用荷载乘上此荷载系数后得出。荷载系数又随着不同荷载体系的组合而变化。

10. 在 § 11 中的定义是从如图 1 中虚线所示的弯矩-曲率关系推导而得。为了简单起见，假定了如图 1 中用两条实直线所示的理想化弯矩-曲率关系。 $OL_1$  在图 2 中虽是曲线，在图 1 中则假定为直线，但混凝土

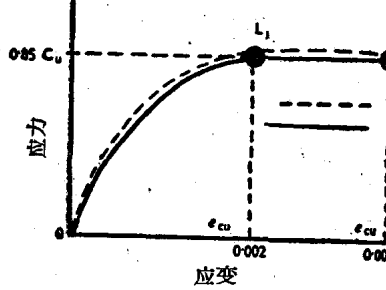


图 2 混凝土理想化的应力-应变关系

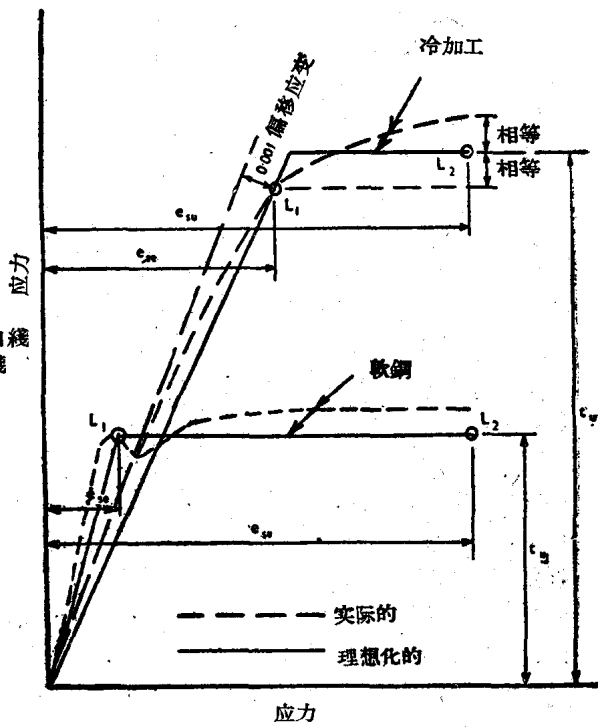


图 3 钢筋基本性质

弹性模量  $E_c$  則隨  $\alpha$  增加而減小。

11. **有效流限** (图 2 及图 3 中的  $L_1$ ) 混凝土或鋼筋短期應力-應變曲線上的某一點，在理想化的曲線上，當超過這點後，則應變增加時(可能產生在塑性鉸截面)，應力不再繼續增加(§ 61 有例外)。

12. § 13~§ 15 的定義適用於實際結構。§ 16~§ 25 的定義適用於理想化的結構。

13. **未裂阶段** 在試驗中混凝土開裂前結構构件的变形阶段。

14. **开裂阶段** 在試驗中混凝土開裂後，直到非彈性阶段開始時，結構构件的变形阶段。

15. **非彈性阶段** 在試驗中，從构件弯矩-曲率曲線的斜率開始劇烈降低處直到破壞為止的变形阶段。在開裂阶段將產生某些非彈性变形，在未裂阶段也将產生少許非彈性变形。但两者如與超過  $L_1$  点以後非彈性阶段中产生的非彈性变形相比，則要小得多。

16. **理想化彈性阶段** 对于承受漸增弯矩的結構构件，理想化弯矩-曲率曲線中弯矩与曲率呈線性关系的阶段。理想化构件具有这样的性质，即对于任一弯矩，其曲率总是小于相应实际构件的曲率(§ 61 有例外)。

17. **理想化塑性阶段** 在承受漸增变形的結構构件中，理想化弯矩-曲率关系的某一个阶段，此阶段中，曲率增加而弯矩不变。当曲率相同时，理想化构件所承受的弯矩总是小于相应实际构件所能承受的弯矩。

18. **理想化彈性极限**(图 1 中的点  $L_1$ )。理想化彈性阶段結束而理想化塑性阶段开始的一点。

19. **塑性弯矩** 在理想化彈性极限处得到的弯矩，(§ 61 有例外)。

20. **曲率极限** 构件理想化弯矩-曲率曲線中的最大曲率，即在图 1 中点  $L_2$  的曲率。

21. **塑性鉸** 构件的某一个截面，非彈性轉角假定集中于該截面。塑性鉸假設在作用有塑性弯矩的危險截面处。在塑性鉸截面及邻近截面中，由于混凝土或鋼筋或兩者的非彈性性态，构件将发生局部的曲率变化。局部的曲率变化对结构变形的影响即相當于塑性鉸截面处的轉角。

22. **塑性鉸轉角或(不連續性轉角)** 在塑性鉸截面及其邻近处，由于混凝土或鋼筋的非彈性性能所引起的曲率总变化，为了方便起見，可假設集中在危險截面上，作为塑性鉸的轉角。

23. **等效塑性区长度** 在出現非彈性性态的构件上的一段假想长度，在該长度上假設其曲率保持不变，并使在此长度上傾度的总变化等于构件傾度的实际变化(图 4)。

24. **机构** 由塑性鉸或真正鉸将构件联結而成的体系。該体系在不增加荷載的情况下，也能产生很大变形，使位移增大到严重影响平衡方程。

25. **弯曲剛度**(如本報告中所引用的) 构件中和軸上某一点的弯曲剛度是等于作用在該截面中和軸上的弯矩与相应曲率半徑的乘积(見符号  $EI$  及  $E'I'$ )。

## 框架設計準則

26. 当框架系按荷載的极限状态設計时，按定义，一般是以全部荷載一次加荷短期作用为合理的标准，并用以确定各参数值(§ 53)。对地震力可能需作特殊調整。設計者应根据結構的性质及活-靜荷載的比值，判断是否局部荷載的某种組合会得出更不利的情况，或有規律的重复荷載組合会发生并引起疲劳削弱或“搖擺”(Shakedown)。要考虑的破坏的主要原因如下：

- (a) 由于出現了足夠数量的塑性鉸，使框架整体或部分形成了机构；
- (b) 在結構形成机构之前，塑性鉸可能由于超过了曲率极限而破坏；
- (c) 框架危險截面可能发生剪切或滑动破坏；
- (d) 构件可能直接受压破坏；
- (e) 整个或部分結構可能由于压屈而破坏。

在某些情况下，上述几种原因的組合也会使结构破坏。

27. § 28 到 § 36 并不涉及本報告的主要內容，即根据图 1 所示弯矩-曲率关系的一种設計方法，也即“极限法”。这些节被列入以說明精确分析方法的各种要求和困难。在下面 § 19 中叙述的弯矩-轉角法，对連續梁設計可能有实用的价值。为了学习“极限法”，这些节可以不讀。下面始終假定不計及由于軸向力、扭矩及剪切所引起的变形，文献[33]中給出了本理論的进一步推广，即在空間框架中計入这些变形。

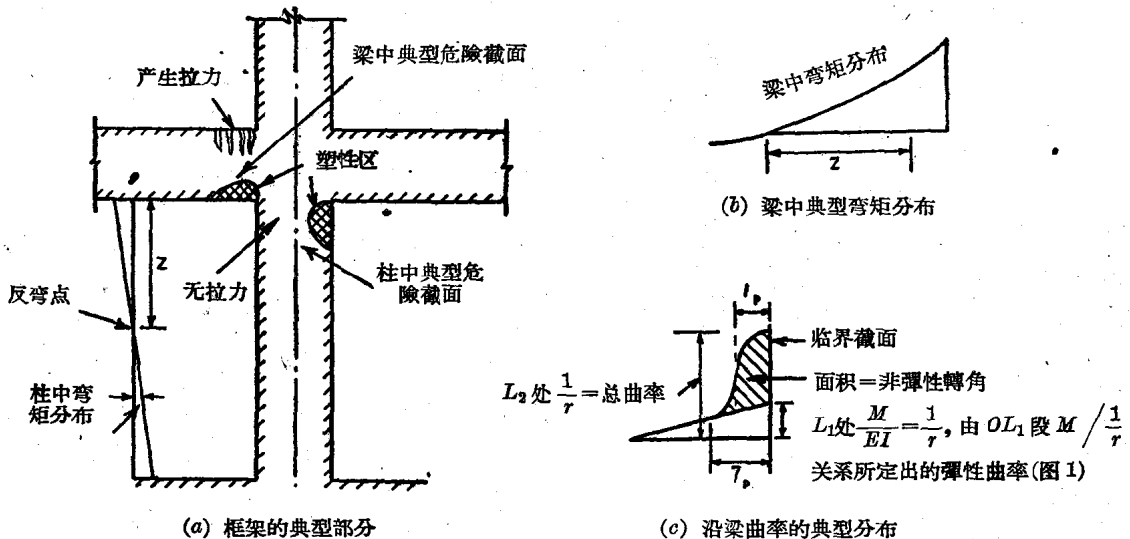


图 4 塑性铰处曲率的典型分布情况

28. 精确法——方法 A, 以弯矩-曲率关系为依据 如已精确地知道框架全部截面的弯矩-曲率关系, 于是就可以使用古典的穆勒-勃莱司劳 (Müller-Breslau) 一般弹性方程<sup>[1, 2]</sup>。为了求得公式的解, 可用试算及调整的方法, 直到在选定为铰处的总转角等于零为止, 同时应使每个截面处的  $EI = (Mr)$  值与作用在该截面处的总弯矩相协调。这种精确解的实用性颇有可能, 即使是对简单的结构。试验指出, 在危险截面处的曲率有很大的局部增长, 而在实践上, 至少要在塑性区的弯矩-转角曲线为已知时这才是能容许的。

29. 精确法——方法 B, 以弯矩-转角关系为依据 图 5a 示出框架的一部分, 其中设置铰 1 至 n 以便结构变为静定。铰 i 为一个典型铰, 其上假设作用有  $x_i = 1$ 。在全部塑性铰截面处的非弹性转角  $\theta'_1 \dots \theta'_n$  及在塑性铰之间的危险截面 I 到  $\bar{n}$  的非弹性转角  $\psi_1$  到  $\psi_{\bar{n}}$  均画在构件受拉或最小受压边, 以便在方程中容易列出非弹性项。弯矩  $M_i$  也同样画在构件受拉或最小受压边 (穆勒-勃莱司劳方程)<sup>[1, 2]</sup>。

30. 当全部外荷载及弯矩  $x_1$  到  $x_n$  作用时, 如将由非弹性变形及由弹性变形所引起的转角相加, 则在一截面 i 处总的转角为零。如用虚功原理来推广穆勒-勃莱司劳的古典方程, 即可建立典型塑性铰截面 i 处的一般的相容方程<sup>[28]</sup>。

$$\int \frac{M_i M_0}{E'I'} ds + \sum x_k \int \frac{M_i M_k}{E'I'} ds + M_i \theta'_i + \sum M_i \psi_{\bar{n}} = 0 \quad (1)$$

31. 为了得出在任一荷载阶段直到极限状态为止的弯矩分布, 则必须知道每一个危险截面处的  $\frac{M}{\psi}$  曲线 (图 5c), 同时, 必须求出 x 值, 使全部  $\psi$  及  $\theta'$  转角值与在危险截面 I 到  $\bar{n}$  及 I 到  $\bar{n}$  处的总弯矩相协调。

32. 在简单的情况下; 例如连续梁承受对称荷载 (图 6), 有时可能很容易求出精确的解。将非弹性变形所引起的弯矩变化值与弹性弯矩分开是方便的, 因为弹性弯矩经常是已知的或可用一般方法很容易求出。

33. 如果非弹性影响仅引起用  $x_1 \dots x_n$  表示的弹性弯矩的变化值, 则必须求出这些变化值, 它们与总的弯矩值相协调, 并与外荷载共同满足相容方程, 也即略去包括  $M_0$  的项。

如图 6 所示情况下, 略去  $M_0$  项:

$$x_1 = x_2, \psi_1 = \psi_2, \psi_3 = \psi_4$$

方程(1)成为

$$x_1 \int \frac{M_1 M_1}{E'I'} ds + x_1 \int \frac{M_1 M_2}{E'I'} ds - \psi_1 - \psi_3 = -2\theta'_1 \quad (2)$$

或

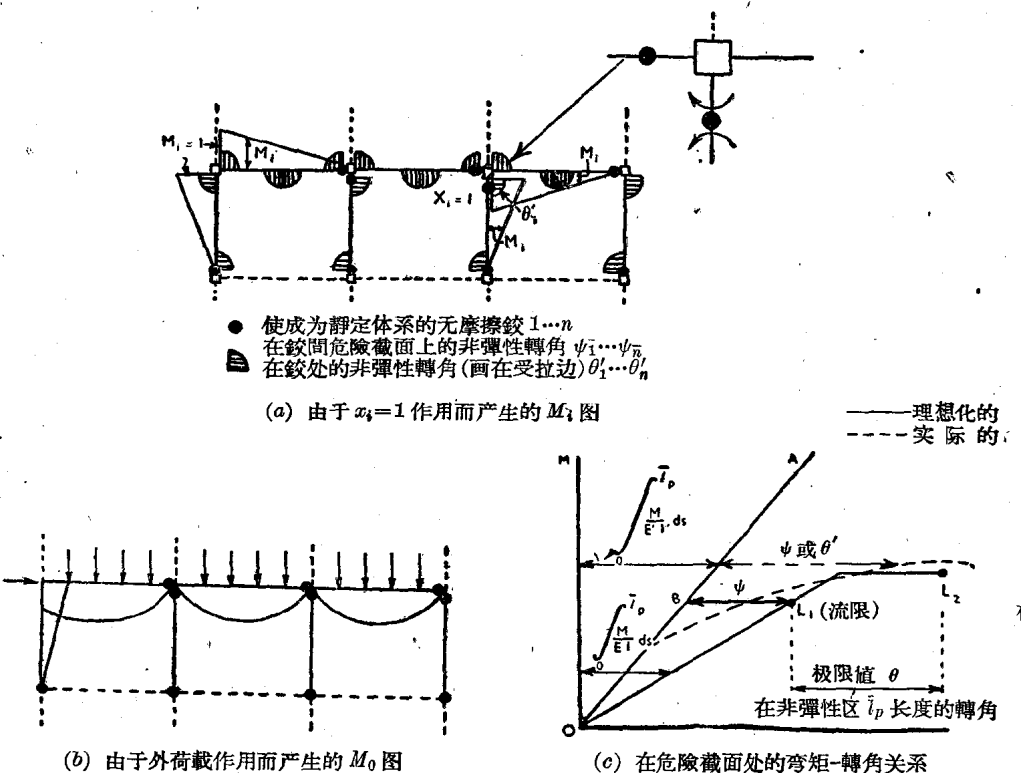


图 5 a, b, c —— 精确分析法图例

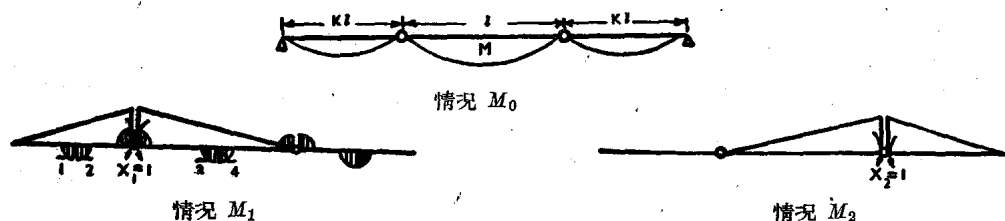


图 6 连续梁中的铰

$$x_i = 6EI' \frac{(\psi_1 + \psi_3 - 2\theta'_1)}{1(2K+3)} \quad (3)$$

郎馬契(Macchi)用三弯矩理論所得出的結果<sup>[3]</sup>。

34.  $\psi_1$ ,  $\psi_3$  及  $\theta'_1$  值必須与在相应危險截面处的总弯矩相协调。如  $M/\psi$  曲线为已知则很容易求出这样的解答。在桥梁结构中,这样的解是值得的,因为在桥梁中,为了避免裂缝宽度过大而获得长期的使用能力,使用应力计算的精确性是重要的。

35. 如弯矩-转角曲线(图 5c)的形状与理想化线段  $OL_1L_2$  一样,则在一般方程中:

必须以  $EI$  代替  $E'I$ ;

全部  $\psi$  项为零;

$\theta'_i$  成为  $\theta_i$ 。

适当地选定铰的位置,则  $x$  项变成  $\bar{x}$  项,于是给出下列简化的一般方程:

$$\int \frac{M_i M_0}{EI} ds + \sum \bar{x}_k \int \frac{M_i M_k}{EI} ds = -\theta_i \quad (4)$$

36. 甚至当假设的塑性铰数目很多时,如设计铰之间的构件使其弯矩小于点  $L_1$  的弯矩值,则方程的相容性在必要时可借调整  $\bar{x}$  的数值而达到,调整使得  $\theta$  值全是正值并且不过大为止。

簡化的极限法(按照 § 5~§ 25 定义中所述的理想化假設)。

37. 因为鋼筋混凝土构件的极限变形及弯曲强度的分散性相当大, 特别对高次超靜定框架, 有理由可采用由极限  $L_1$  及  $L_2$  所确定的(图 1) 簡化弯矩-曲率或弯矩-轉角曲线, 并設計該框架使在乘以荷載系数后的荷載作用下, 塑性鉸的非彈性轉角介于  $L_1$  及  $L_2$  之間, 同时, 其他危險截面处的非彈性轉角介于 0 与  $L_1$  之間。

38. 除掉在塑性鉸处非彈性的效应以外, 当变形介于 0 及  $L_1$  之間时, 可假設框架构件具有常数  $EI$  值。此值取决于控制  $L_1$  的参数值,  $EI$  值是一个假想的彈性值, 比  $E'I'$  值小, 以考慮非彈性效应。

39. 在塑性鉸之間, 按設計了危險截面的弯矩值将等于或稍小于  $L_1$  处的值。因为在 0 到  $L_1$  之間的非彈性变形是小的, 并主要发生在最大弯矩的区域中, 以  $OA$  (图 5c) 作为彈性弯矩-轉角線的实际非彈性轉角  $\psi$  将近似地等于但稍小于假定值  $BL_1$ 。

40. 从方程(4)可看出, 在对由于  $\psi$  和  $\theta'$  实际相对值的可能变化所产生的  $\theta$  給出最大值的同时, 会使  $x$  值产生稍許誤差。构件极限弯曲强度, 除非是超荷載面过分脆性, 一般是不受到影响的。

41. 框架按乘以荷載系数后的荷載进行設計, 使能形成足夠数量塑性鉸将结构变成靜定而不产生过大的变形。当框架为  $n$  次超靜定, 就需要  $n$  个塑性鉸, 并选择适当的位置。然后, 可以求出每个塑性鉸的轉角, 如符号与所假設的一致, 則原选定的鉸位置是正确的。轉角不能过大, 同时在第  $n$  个塑性鉸形成时, 在塑性鉸之間的构件應設計得不使其达到流限。从理論上看, 每个构件的弯矩-曲率关系, 在塑性鉸之間截面上, 将位于图 1 所定出的彈性阶段範圍之内, 而在塑性鉸截面, 将位于图 1 所定出的塑性阶段。因为塑性鉸之間的构件将設計得在极限荷載下恰仍处于彈性状态, 故促使在結構中形成第  $n$  个塑性鉸的荷載与产生机构的荷載几乎是一样大。

42. 当不同极限荷載的体系会产生不同的塑性鉸位置时, 框架中每个截面, 必須按各种荷載体系所要求的最大极限强度进行設計。例如, 对于側移力可能从左面或从右面作用的框架, 必須假定不同的塑性鉸組合。

43. 当一跨或隔跨承受特別重的活荷載, 例如机車在連續梁桥上, 要求在支座处具有鉸而获得变形及弯矩值的相容性, 有时会感到困难。此时塑性鉸应假定在跨中, 且仅部分結構由鉸組成靜定结构, 但必須校核鉸的强度、位置及轉角。在某些隔跨負荷的情况下, 当在跨中塑性鉸达到允許轉角  $\theta$  时, 支座截面仍呈彈性状态。

### 塑性鉸轉角的計算

44. 除塑性鉸截面之外, 框架构件被設計得直到极限荷載仍处于理想化彈性阶段, 故可用一般彈性方程<sup>[1,2]</sup> 来計算其变形。通常为未知項的  $x$  变为已知項  $\bar{x}$ , 将每个方程左边的項相加后, 可得出每个塑性鉸的  $\theta$  值。所有这些都具有已知值。

45. 設計准則保証,  $n$  次超靜定框架在破坏前将形成  $n$  个塑性鉸, 鉸  $i$  的轉角  $\theta_i$  可由典型的一般方程求出:

$$\delta_{i0} + \sum \bar{x}_k \delta_{ik} = -\theta_i \quad (\text{參見文献[4]及图 7}) \quad (5)$$

式中

$$\delta_{ik} = \int \frac{M_i M_k}{EI} ds \quad (\text{參見文献[1]及[2]}) \quad (6)$$

46. 如上所述, 假定了塑性鉸之間构件具有線性的弯矩-曲率关系; 所以,  $EI$  值一定要假設为常数, 可簡便地假設为等于在“理想化彈性极限”处的  $EI$  值。計算中为了求出接近最大的变形,  $EI$  值应假設取用一个安全的最小值。在不开裂的构件例如柱子中, 取用未裂时的  $EI$  值, 在开裂的构件例如梁中, 取用开裂危險截面处的  $EI^*$  值。

$$\text{曲率的变化} = \int \frac{e_c}{n_1 d} ds \quad \text{这} = \int \frac{M}{EI} ds$$

\* 有时为了須精确的計算, 例如在研究工作中, 对于框架的某些部分由于用較大剛度会增加  $\theta$  值, 可能有必要根据低极限  $L'_1$  来假定  $EI$  值, 同时, 反过来研究鉸的各种可能位置

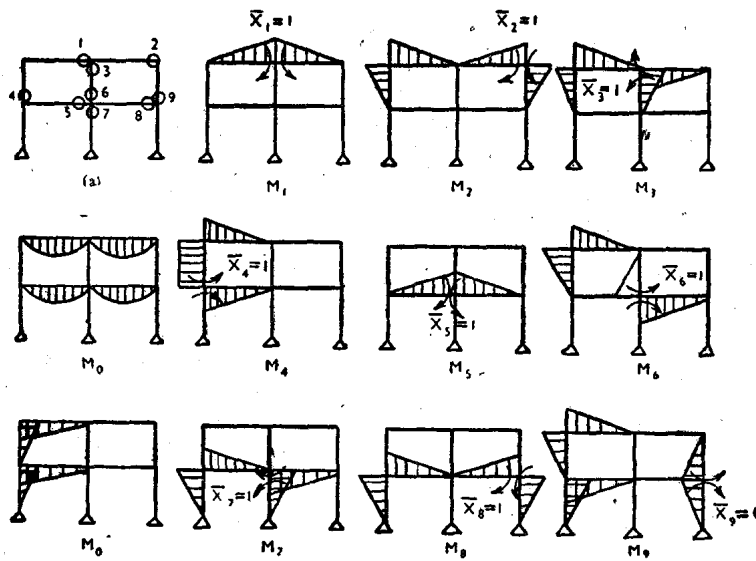


图 7 框架中铰的位置及弯矩

式中

$$E = \frac{c}{e_c} = \text{混凝土割线弹性模量。}$$

$$I = \frac{M n_1 d}{c}$$

此处  $M$  及  $n_1$  值应用弯矩-曲率图(图 1)中  $L_1$  处的值,但  $e_c$  及  $c$  值应用弯矩-曲率图(图 2)中  $L_1$  处的值。

在开裂的矩形截面中

$$EI = \frac{ac}{C_u} \frac{1}{e_c} (n_1^2 - \gamma n_1^3) bd^3 C_u \quad (7)$$

47. § 53 列出短期荷载作用下的安全参数值。长期荷载作用下变形虽有增加,但考虑短期荷载能为安全度提供满意的准绳。因为已经指出<sup>[1]</sup>,单独构件根据混凝土应力按抛物线分布进行设计,即使在超载长期作用下也还是具有一个足够的荷载安全系数。同时在此情况下,超静定框架除掉发生压屈破坏之外,非线性徐变经常引起有利的应力重分布。

### 允許轉角 $\theta_p$ 的計算

48. 在理想化结构中,塑性铰转角仅在塑性阶段产生,因此  $\theta_p$  是在塑性铰区域内总的极限转角减去弹性转角。

49. 图 4c 表示从试验中量出的在塑性铰处的曲率形式及其理想化后的曲线,其中为了简化起见,假设了等效塑性区长度  $l_p$ 。在  $l_p$  长度上,塑性转动认为具有常曲率。

#### 經驗公式

50. 情况 1 (图 8a 及 8b) 在危险截面上有拉力

$$\theta_p = \frac{(e_{cu} - e_{ce})}{n_u d} l_p \quad (8)$$

(在危险截面的一边)

情况 2 (图 8c 及 8d) 在危险截面上没有拉力

$$\theta_p = \frac{(e_{cu} - e_{ce})}{d} l_p \quad (9)$$

(在危险截面的一边)

在两种情况下,建议采用适用于设计的极限值如下:

$$e_{ce} = 0.002$$

$\epsilon_{cu} = 0.0035$  无箍筋的混凝土

$\epsilon_{cu} = 0.012$  有较多箍筋的混凝土<sup>[4,31]</sup>。采用时要小心地校核  
使用要求, § 72

$$l_p = K_1 K_2 K_3 \left( \frac{Z}{d} \right)^{1/4} d$$

$$K_2 = \left( 1 + 0.5 \frac{p}{p_u} \right)$$

$p_u$  = 无弯矩作用时, 构件承受轴向荷载的极限能力

$p$  = 构件的极限轴向荷载(如有弯矩时, 应考虑弯矩的作用)

51. 已有的試驗結果<sup>[32]</sup>指出, 采用下列  $K$  值将使量得的  $\theta$  值与按方程(8)及(9)所得計算值两者之間合理地相符并偏于安全:

$$K_1 = 0.7 \text{ 軟鋼}, \quad K_1 = 0.9 \text{ 冷加工鋼筋}$$

$$K_3 = 0.6 \text{ 当 } C_u = 6000 \text{ 磅/吋}^2, \quad K_3 = 0.9 \text{ 当 } C_u = 2000 \text{ 磅/吋}^2$$

(中間值可按比例求出)

52. 實踐中各种大量結構构件所具  $\frac{z}{d}$  及  $\frac{l}{d}$  的极限值一般将  $l_p$  限制在大約  $0.4d \sim 0.24d$  的范围内。

### 对于影响弯曲强度及压弯强度的参数所建議的安全极限值

53. 对不同级别的混凝土和不同种类的钢筋, 計算截面抗弯及抗压弯的强度是以下列假定为根据的(图 8):

(a) 截面上应变的分布是线性的(除  $F$  不等于 1 的影响以外)。

(b) 混凝土压应力的极限分布是抛物线的(或是一个等效的分布)。

(c) 构件的弯矩-曲率关系是理想化的, 如图 1 所示。极限值  $L_1$  及  $L_2$  是由混凝土及钢筋的性质决定。对有影响的参数值作出了假定, 这些数值能够保証由计算得出的强度及变形較試驗結果为安全。

54. 弯矩-曲率試驗曲線的形式随着钢筋的型式、含钢率、混凝土的横向箍筋、預应力大小及轴向荷载而变。文献 [7] 中研究了这些因素。图 1 及图 10 中示出其典型曲線并与相应的理想化曲線进行了比較, 对上述各种情况, 由表 1 及表 2 中参数值得出的  $L_1$  及  $L_2$  值是安全的。

#### 低筋截面

55. 低筋截面可定义为这样的截面, 在受弯时, 钢筋达到  $L_1$  点(图 3)在混凝土达到  $L_1$  点(图 2)之前。在超筋截面中, 刚好相反。在平衡设计中, 混凝土及钢筋同时到达  $L_1$  点。作为安全的近似假定, 低筋截面的  $M$  可用公式  $A_s t_u a_1 d$  計算,  $a_1$  值假定取用平衡截面中的值。用公式  $EI = \frac{E_c M n_1 d}{c}$  計算  $EI$  时, 其中的  $n_1$  值必须是低筋截面当钢筋应变为  $L_1$  时的正确值(图 3)。在理想化弹性范围之内(图 1), 弯矩-曲率关系被假定为线性的, 虽然理想化的混凝土应力-应变曲线为非线性的如图 2 所示。这样假定是可以的, 因为从配

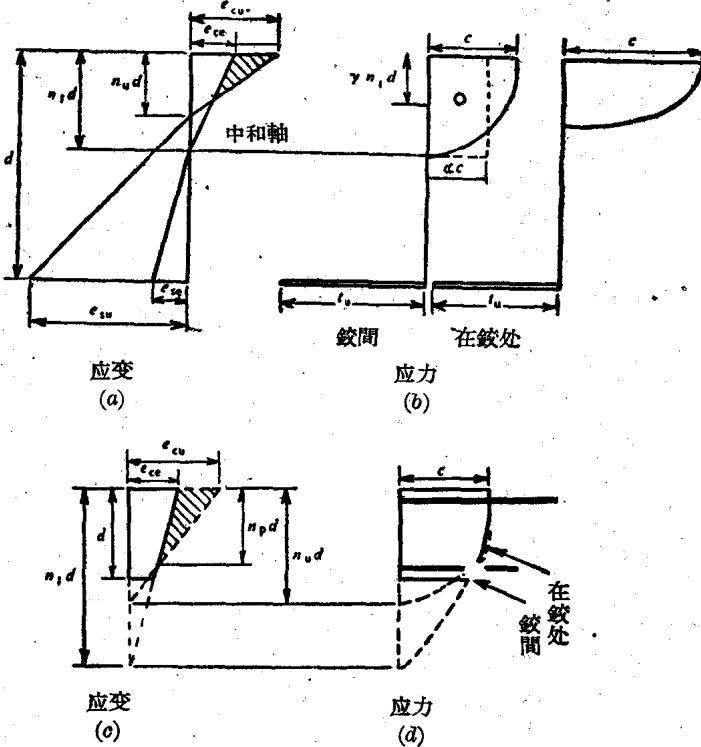


图 8 典型的应力及应变分布

表1 在  $L_1$  (图 1) 处,  $M$  及  $EI$  值的計算情況 1: 出現拉力(图 8a, 8b)

应用場合	参数	安全极限值	备注
$n_1$	$e_{ce}$ $e_{se}$	0.002 $L_1$	$L_1$ 从試驗結果得出(图 3)
$c$ 及 $a_1$	$\alpha \frac{c}{C_u}$ $\alpha$	0.60 0.55 0.50 0.67	$C_u < 3000$ 磅/吋 <sup>2</sup> $C_u = 3000 \sim 5500$ 磅/吋 <sup>2</sup> $C_u > 5000$ 磅/吋 <sup>2</sup> 当 $e_{ce} = 0.002$
	$\gamma$	0.40	見图 8b 另外, 抛物綫应力分布对任意截面均适用, 如图 8b 所示, 或如 1957 年所頒布的英國標準設計規範第 C.P.114 号所示的用等效矩形应力图
	$c$	$0.85c_u$	与抛物綫应力分布同时采用
$T$	$t_u$ 图 8b	$L_1$ $L_2$	見图 3, 从試驗結果得出 見图 3 冷加工鋼筋, 仅鉸截面參見 § 62
$I = \frac{Mn_1d}{c}$	$n_1$ $c$ $M$		$e_{ce}$ 或 $e_{se}$ 达到安全极限值时的数值 $e_{ce}$ 或 $e_{se}$ 达到安全极限值时的数值 $e_{ce}$ 或 $e_{se}$ 达到安全极限值时的数值
$E_c = \frac{c}{e_c}$	$c$ $e_c$	0.85 $C_u$ 0.002	給出在 $L_1$ 处(图 2) 的 $E_c$ 值
$n_1$ 或 $n_u$	$F$	1.0 0.8	粘結力好, 小直徑的光面鋼筋 粘結力差, 大直徑的光面鋼筋

表2 情況 2: 不出現拉力(图 8c, 8d)

应用場合	参数	安全极限值	备注
$n_1$	$e_{ce}$	0.002	
	$c$	$0.85C_u$	与抛物綫应力分布同时采用
$I$			等效混凝土截面
$E_c$	$c$ $e_c$	0.85 $C_u$ 0.002	給出在 $L_1$ 处(图 2) 的 $E_c$ 值

置軟鋼的超筋截面梁的弯曲試驗中明显地得出  $\frac{E_c a}{F}$  几乎是常数, 在这些試驗中, 鋼筋的应变是彈性的, 中和軸高度直到混凝土应变达 0.002 时仍不变。这說明当  $a$  从 0.5 增加到約 0.7 时,  $\frac{E_c}{F}$  按相同速率降低。故对某一  $n$  值而言,  $EI$  值在理想化彈性范围内可假定为常数。所以从混凝土应力分布图按应变为 0.002 去計算  $EI$  值是方便的,  $n_1$  必須用相应于实际含鋼率及所存在的預应变的正确值。 $\frac{E_c M}{c}$  的数值可以由混凝土受压时在  $L_1$  点的应力及应变的安全极限值决定, 但取用該截面的  $n_1$  的正确值。例如在低筋矩形截面的情况下, 假設:

$$E_c = \frac{c}{e_c}$$

$$M = acbd^2(n_1 - \gamma n_1^2)$$

$$EI = \frac{E_c M n_1 d}{c} = \frac{acbd^3}{e_c} (n_1^2 - \gamma n_1^3)$$

在  $L_2$  处容許轉角的計算(图 1)。

56. 除特殊情况外(§ 61)，假設在  $L_2$  处的弯矩或复合的弯矩及軸向力与在  $L_1$  处相同。其数值則按  $L_1$  处的参数值計算得出。

57. 这样做法与下列因素是不能完全协调的，如  $n_1$  值从  $L_1$  到  $L_2$  的变化， $c$  值假定不变及应力的分布形状等。然而，弯矩或复合弯矩及軸向力值在理想化点  $L_1$  及  $L_2$  之間并沒有很大的增加，同时，按 § 56 的假定得出的值是偏于安全的，見表 3。

表 3 情况 1：出現拉力(图 8a 及 8b)

应用場合	参 数	安全极限值	备 注
$n_u$ 从 $C=T$ 得出	$c$ $t_u$	$0.85C_u$ $L_1$	应力分布如 $L_1$ 点处 从試驗結果得出，見图 3(§ 61 有例外)
$\theta_p$ 值	$e_{cu}$	0.0035	无箍混凝土
	$e_{cu}$	0.012*	有箍混凝土(詳見参考文献[4])。
	$e_{su}$	$L_2$	$L_2$ 从試驗結果得出(图 3)
$l_p$ 值			見 § 50

表 4 情况 2：无拉力(图 8c 及 8d)

应用場合	参 数	安全极限值	备 注
$\theta_p$ 值	$e_{cu}$	0.0035	有箍混凝土
	$e_{cu}$	0.012*	无箍混凝土
$l_p$ 值			見 § 50

\* 应变发生在箍紧范围之内，在计算中应仅计及混凝土被箍紧的核心范围[8]。

表 5

应用場合	参 数	安全极限值	备 注
$n_u$ 从 $C=T$ 得出	$e_{cu}$	0.0035	
	$e_{su}$	$L_2$	$L_2$ 从試驗結果得出(图 3)
$c$ 及 $a_1$	$c$	$0.85C_u$	应力按抛物线分布

58. 在表 3 中建議的极限应变是为了保証框架构件具有足够的刚度以避免在塑性铰处产生过大的轉角。低筋梁中可采用  $e_{ce}$  的較低值，其值可由混凝土在  $L_1$  点(图 2)的应力求出。

59. 当受拉鋼筋是預应力的，则理想化应力-应变曲綫的原点必須移到假設原点  $O'$  处， $O'$  是曲綫上的一点，其应变等于仅由預应力所产生的应变  $e_p$ (图 9)。

60. 受压鋼筋的应力由截面上假定按綫性分布的应变并考虑鋼筋的应力-应变曲綫推演得出。

#### 塑性铰截面上 $M$ 的其他值

61. 当采用冷加工鋼筋，或塑性铰截面是超筋的，或全截面为受压时，真正的弯矩-曲率曲綫在  $L_1$  及  $L_2$  之間可能还有上升，所以假定在  $L_2$  处的  $M$  值大于在  $L_1$  处是恰当的。故而理想化弯矩-曲率图形可假定如图 10 所示。在塑性铰之間，弯矩必須不能超过在  $L_1$  处已定出之值。在  $L_2$  处的弯矩值可按下列方法求出。

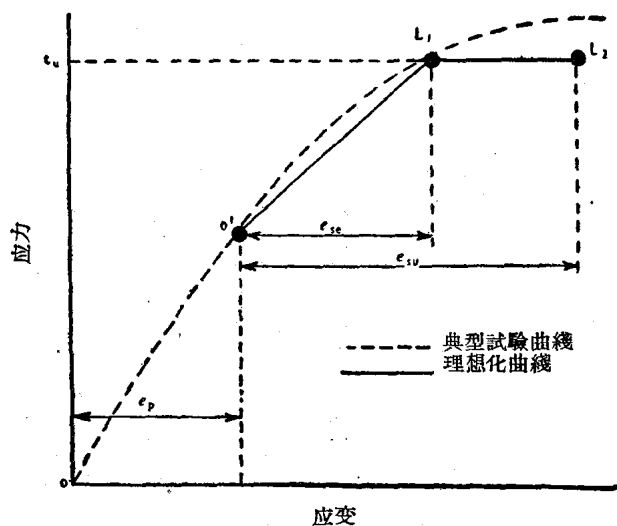


图9 典型的及理想的应力-应变关系(预应力钢筋)

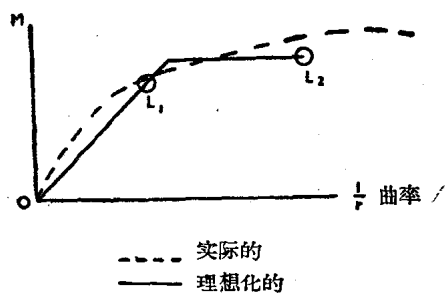


图10 典型的及理想的弯矩-曲率关系

#### 計算在 $L_2$ 处 $M$ 的其他方法

62. 在  $L_2$  点处的  $M$  可用表 5 中参数求出，也可采用在  $L_1$  点的弯矩及弯矩-转角试验曲线上的极限弯矩两者的平均值。此平均值假定足以防止在塑性铰截面处的极限变形能全部开展之前其他有关危险截面上发生脆性破坏。

#### 荷载系数

63. 钢筋混凝土设计中，钢筋应力的安全系数一般取用 2 是足够的，在英国标准设计规范第 C.P. 114 号中也就是这样规定的。在英国标准设计规范第 C.P. 115 号中，对于预应力混凝土设计，规定静荷载取用荷载系数 1.5，活荷载取用 2.5，但限制组合后不超过 2。设计超筋截面时，两个规范的规定采用进一步的安全措施。

64. 当某些情况特别有利而计算中应用了 § 68(a) 及 (d)，则可以采用小于 2 的安全系数。下面列出的公式，是根据可能存在的各种情况来决定降低的安全系数（最小达到 1.25）的方法，其中某些情况会影响破坏的偶然率，这些影响将考虑其破坏的严重性而加权。

65. 本委员会少数成员包括霍恩 (M. R. Horne) 教授反对由于方便而容许降低安全系数的原则。

66. 荷载系数 ( $L.F$ ) 应估计下列六个参数的相对重要性或权数 ( $W$ ) 再应用下式决定

$$L.F = \frac{\sum W}{32} + 1.25$$

应考虑的参数如下：

(a) 破坏后果的严重性(人或经济上)

取  $W$  在 0 (不严重) 及 8 (很严重) 之间。

(b) 施工质量

取  $W$  在 0 (很好) 及 4 (经常不好) 之间。

(c) 荷载情况，包括对复合荷载的考虑

取  $W$  在 0 (正确的及能控制的) 及 4 (较不正确及没有控制的) 之间。

(d) 构件在结构中的重要性

取  $W$  在 0 (不重要) 及 4 (致命的) 之间。

(e) 破坏时的警告

取  $W$  在 0 (足够的) 及 3 (没有的) 之间。

(f) 强度的损失，包括维修的条件

取  $W$  在 0 (一般不会有如此坏的情况出現) 及 1 (維修正常) 之間。

67. 运用这个方法时,計算应按极限荷載理論进行,当正确地假定了材料强度,荷載集度,极限支承情况及偏心距后,是可以保証所估計的极限强度的最大誤差为 15%。在这些情况中,对混凝土结构而言,其荷載系数将介于 2 到大約 1.25 之間。

68. 計算中还須計及下列情况:

(a) 計算应根据混凝土及鋼筋强度的安全极限值,此值可假定为  $m - 2.33\sigma$

此处

$m$ =平均强度

$\sigma$ =大量試件試驗結果的均方差,由下式給出:

$$\sigma = \sqrt{\frac{\sum(x - \bar{x})^2}{n-1}}$$

式中

$n$ =試件数量

$x$ =一个試件的試驗結果

$\bar{x}$ =試驗結果的算术平均值。

(b) 荷載应根据統計測定或某种有效的荷載控制方式中得出的最大值。

(c) 計算中应計及荷載偏心的极限值,支座的移动或其他会影响结构性能的因素。

(d) 計算极限强度时应包括計及由于疲劳的影响而需加强截面,同时对于在结构使用期間可能发生特殊的磨損和腐蝕作用时,也必須用增大橫截面的办法来补救。

69. 如在計算中正确地采用了所有能給以一定數值或統計資料值的因素,則上面的公式就能給出一个足够的荷載系数。應該选用材料强度的安全极限值而不是平均值,并且應該采用荷載的最大值,这是重要的。这样,就以統計資料为依据,对质量控制要达到的标准及荷載限制預期做到的程度給予了考慮。

70. 所假設的最小强度( $m - 2.33\sigma$ )仅允許在 100 根試件中大致有 1 根試件可以低于所要求的最小值。所假設的最大荷載并不排斥在 100 根构件中大致有 1 构件可能会稍微超載,因此,假如在危險截面的危險部分,則当采用荷載系数为 1 时,在 100 根到 4000 根构件之中就将可能有 1 构件发生破坏。一般在設計規范中規定用荷載系数为 2, 以保証有一些附加的安全度。經驗指出,如果計算中采用最小强度和最大荷載,这是足够的。其次,采用荷載系数为 2 时,还需要一个具有足够余地而可以被接受的标准以保証不合格的材料在施工中易为监工員看出而予以拒絕采用,或者,超过最大容許的荷載对使用者要显而易見。因此,这样的余地排除了破坏的全部可能原因,除一些不能預加考慮的特殊原因之外。如要求不产生永久性損害,还应考慮进行 25% 超載的試驗。当条件特別有利时,按公式計算并采用适当的权数可能得出荷載系数小于 2。

#### 欧洲混凝土委員會的不同規定。

71. 荷載系数。1957 年在羅馬商定以下列原則來取用安全系数。

### 符 号

#### 材料

$R_d$ =計算中假定的安全极限强度

$R_c$ =特征强度,在至少 20 个試件的試驗結果中,取其較低的 10 个数据的算术平均值

$C_m$ =系数,取决于在結構中混凝土或鋼筋强度小于  $R_c$  的或然率

#### 荷載

$S_d$ =計算中假定的安全极限荷載

$S_m$ =从类似结构的統計資料中得出的最大荷載的平均值

$S_c$ =特征荷載

$K$ =系数,取决于荷載大于  $S_c$  的公认或然率(有时小于  $S_c$ , 如对稳定來說)

$\sigma$ =实測荷載的单位均方差

$C_s$ =系数,取决于破坏的最大公认或然率

## 材料

$$\left. \begin{array}{l} R_d = \frac{R_c}{C_m} \quad C_m = \text{对钢筋采用 } 1.15 \text{ 到 } 1.2 \\ \quad \quad \quad C_m = \text{对混凝土采用 } 1.5 \text{ 到 } 1.6 \\ \quad \quad \quad R_c = \text{圆柱体强度} \end{array} \right\} \text{适用于准确计算及现场控制良好的情况}$$

## 荷载

$$S_c = S_m(1 + K\sigma) \quad K = 1$$

$$S_d = S_c C_s \quad C_s = 1.25 \text{ 适用于准确计算及现场控制良好的情况}$$

组合荷载如风荷载和雪荷载以及温度或收缩所引起的影响可降低 20%，但降低后的数值应不小于任何一个单独荷载的数值。

$$\begin{aligned} \text{主要的荷载系数值} &= C_m \times C_s = 1.5 \text{ (钢筋)} \\ &= 2.0 \text{ (混凝土)} \end{aligned}$$

## 调整

造成的损坏很严重	+15%
造成的损坏很轻微	-15%
计算精确性一般	$C_s + 15\%$
质量控制一般	$C_m + 15\%$

## 使用能力的设计

72. 有时，结构在使用荷载下避免开裂特别重要。对这种结构来说在求解相容方程(5)时，应使其中  $\theta$  值接近为零。然后根据所得弯矩分布计算使用应力，同时还要校核以保证不产生过宽的裂缝。如果在使用荷载下可能产生过大变形或应力，以致将引起疲劳削弱，则也需进行类似的校核。对连续梁桥来说，值得用 § 29 中精确法 B 来求出在使用荷载下更精确的刚度。

## 不稳定性

73. 框架不稳定问题可分为下列几种：

单独柱的不稳定性；

单独梁的不稳定性；

由于侧移使整个框架失去稳定。

### 柱的不稳定性

74. 框架柱除承受轴向力以外，通常还承受弯矩。由初步假定塑性铰位置所求出的这些柱内弯矩将需要增加以考虑柱子在荷载作用下发生弯曲。

75. 当侧移力能被忽略时，可将柱子用一般方法作为细长柱设计，并计及垂直活荷载的最不利组合。当侧移力较大时，在图 11a 中实线所表示的是承担垂直荷载  $p$  的柱子的弯矩图，此处假设了塑性铰在顶部与底部并不计柱子及结构的变形。柱子单独的挠度将引起附加弯矩，其值等于  $p \times$  挠度值。此附加弯矩本身又引起进一步弯曲及附加弯矩。图 11b 即表示由于这两个原因所引起的总弯矩。

76. 结构侧移也引起附加弯矩，其值等于  $p \times$  侧移产生的挠度。这附加弯矩反过来又引起了进一步的弯曲及附加弯矩，图 11c 即表示由于这两原因所引起的总弯矩。

77. 这些弯矩引起塑性铰位置从两端向内移动，同时塑性铰在新位置上的转动，进一步增加了柱中弯矩如图 11d 所示。

78. 计算附加弯矩以及最后塑性铰转角的过程大部分是估计及试验。最后解答应包括 (1) 在柱上的轴向荷载；(2) 柱上的弯矩；(3) 铰的转角，所有上述这些因素组合后所产生的效应仍应在安全极限范围之内。

79. 同时，还需用增加上述轴向荷载的偏心距来考虑由于施工误差或混凝土柱截面刚度不均匀性所引起的柱的挠度。

80. 在计入所有上述影响，用试凑方法校核柱中塑性铰的真实位置及转角时，主要步骤如下：